

نقشه‌بندی فرسایندگی باران در استان کرمان با روش‌های زمین‌آماری

عطالله کاویان* - دانشیار دانشگاه علوم کشاورزی و منابع طبیعی ساری، گروه آبخیزداری
زینب جعفریان - دانشیار دانشگاه علوم کشاورزی و منابع طبیعی ساری، گروه مرتعداری
افشین جهانشاهی، دانشجوی دکتری آبخیزداری دانشگاه علوم کشاورزی و منابع طبیعی ساری
محمد گلشن - دانشجوی دکتری آبخیزداری دانشگاه علوم کشاورزی و منابع طبیعی ساری

پذیرش مقاله: ۱۳۹۴/۰۸/۰۴ تأیید نهایی: ۱۰/۰۴/۹۴

چکیده

این پژوهش با هدف تعیین شاخص فرسایندگی باران (EI_{30}) در اقلیم نیمه‌خشک استان کرمان انجام گرفت. بدین منظور برای مناطق فاقد ایستگاه‌های باران‌نگار از تحلیل رگرسیونی بین این شاخص و بعضی شاخص‌های زودیافت برای ۱۷ ایستگاه مجهز به باران‌نگار استفاده شد. مناسب‌ترین رابطه رگرسیونی بر مبنای شاخص متوسط حداقل بارندگی ماهانه به میزان ($R^2 = 0.882$) بود. سپس، با برسی تمامی ایستگاه‌های هواشناسی در استان کرمان (آمار شدت و روزانه بارندگی)، ۱۳۵ ایستگاه با بیش از ۲۰ سال آمار برای تهییه نقشه فرسایندگی باران انتخاب شد. نتایج نشان داد حداقل و حداقل شاخص مورد نظر به ترتیب برابر با $213/74$ و $91/24$ مگاژول-میلی‌متر بر هکتار در ساعت و در سال برای ایستگاه‌های سلطانی و دولت‌آباد اسفتدقه بود. در نهایت، با استفاده از تکنیک ارزیابی مقابل، روش زمین‌آماری کریجینگ ساده مناسب‌ترین روش پهنه‌بندی انتخاب و نقشه‌پهنه‌بندی شاخص فرسایندگی باران برای استان کرمان در نرم‌افزار ArcGIS 10.3 تهییه شد. نتایج نشان داد مقدار این شاخص در غرب و جنوب‌غربی استان دارای بیشترین و در شرق، جنوب و شمال استان دارای کمترین مقدار است. همچنین، معادلات مربوط به همبستگی شاخص‌های مورد برسی با شاخص EI_{30} به دست آمد که نشان‌دهنده همبستگی قوی این شاخص با شاخص‌های زودیافت بود.

کلیدواژه‌ها: ارزیابی مقابل، استان کرمان، باران‌نگار، شاخص EI_{30} .

مقدمه

فرسایندگی باران نیروی محرکه یا توان عوامل فرسایش‌زا در جداسازی و انتقال ذرات خاک در ارتباط با فرسایش آبی است (لال و الیوت، ۱۹۹۴). فرسایش بارانی موجب هدررفت خاک، آسیب به کشاورزی و زیربنایها می‌شود و آلودگی آب را به دنبال دارد. تغییرات در الگوهای بارش خطر فرسایش در سرتاسر جهان را تشیدید می‌کند (برنسین، ۲۰۰۷؛ سانچز مورنو و همکاران، ۲۰۱۴). قدرت فرسایندگی باران نقش زیادی در فرسایش خاک دارد نشان‌دهنده پتانسیل فرسایش در مناطق مورد نظر است (مورگان، ۱۹۹۵). به دنبال فرسایندگی باران انواع فرسایش آبی صورت می‌گیرد که نه تنها باعث ازبین‌رفتن خاک به منزله ثروتی طبیعی می‌شود، بلکه مشکلات دیگری را نیز در پی خواهد داشت که پرشدن مخازن

سدها، کانال‌ها، آلوگی آب و تغییرات اکولوژیکی بخش کوچکی از مشکلات شناخته شده بشر است. با توجه به مشکلات یادشده، بررسی جنبه‌های مختلف فرسایش آبی ضروری به نظر می‌رسد (علی‌پور و همکاران، ۱۳۸۹). اگر سایر خصوصیات مؤثر بر بارش ثابت در نظر گرفته شود، میزان تلفات خاک مستقیماً متناسب با میزان فرسایندگی باران خواهد بود. این عامل معمولاً در قالب شاخص‌های فرسایندگی مبتنی بر خصوصیات بارندگی بیان می‌شود (حکیم‌خانی و حکیم‌خانی، ۱۳۸۹). محققان مختلف با اندازه‌گیری هم‌زمان میزان پاشمان یا تلفات خاک و خصوصیات بارندگی و برقراری روابطی بین آن‌ها، اقدام به ارائه شاخص‌هایی کرده‌اند که مبتنی بر خصوصیات بارندگی است. تاکنون شاخص‌های مختلفی در دنیا ارائه شده است که بسته به منطقه جغرافیایی، مقیاس، شرایط محلی و نوع اندازه‌گیری متفاوت با یکدیگرند (سالس و پوسن، ۲۰۰۰؛ ویشمایر و اسمیت، ۱۹۷۸).

مفهوم عبارت فرسایندگی باران را ویشمایر و اسمیت (۱۹۷۸) در سال ۱۹۵۸ به منظور لحاظ تأثیر اقلیم بر فرسایش خاک بیان کردند. فرسایندگی باران را می‌توان با استفاده از دو روش اندازه‌گیری مستقیم و استفاده از شاخص‌ها تعیین کرد (لال و الیوت، ۱۹۹۴). روش اندازه‌گیری مستقیم روشی مناسب برای تعیین قدرت فرسایندگی باران است که از طریق اندازه‌گیری میزان پاشمان صورت می‌گیرد. به دلیل اینکه اندازه‌گیری مستقیم قدرت فرسایندگی باران در سطح وسیع و برای تمام بارندگی‌ها کاری دشوار و زمان بر است، محققان مختلف (لال و الیوت، ۱۹۹۴؛ سالس و پوسن، ۲۰۰۰؛ ویشمایر و اسمیت، ۱۹۷۸) با اندازه‌گیری هم‌زمان میزان پاشمان یا تلفات خاک و خصوصیات بارندگی و برقراری روابطی بین آن‌ها، به شاخص‌هایی مبتنی بر خصوصیات بارندگی دست یافته‌اند. با استفاده از این شاخص‌ها و بدون نیاز به اندازه‌گیری مستقیم می‌توان قدرت فرسایندگی باران برای مناطق مختلف را تعیین کرد.

بهطور کلی، شاخص‌های فرسایندگی باران را می‌توان در قالب دو گروه شاخص‌های مبتنی بر انرژی و شدت بارندگی و شاخص‌های مبتنی بر آمار زودیافت بارندگی تقسیم کرد (حکیم‌خانی و همکاران، ۱۳۸۴). از معروف‌ترین شاخص‌های این گروه می‌توان به EI_{30} (ویشمایر و اسمیت، ۱۹۷۸) اشاره کرد که در آن به نحوی از شدت بارندگی و انرژی جنبشی استفاده شده است. یکی از محدودیت‌های این شاخص و دیگر شاخص‌های مبتنی بر انرژی جنبشی و شدت بارندگی، نیاز به داده‌های بارندگی با فواصل زمانی کوتاه‌مدت و آمار طولانی‌مدت (بالاتر از ۲۰ سال) است که به ایستگاه‌های هواشناسی مجهز به باران‌نگار احتیاج دارد (ویشمایر و اسمیت، ۱۹۷۸). به دلیل اینکه چنین آماری در بیشتر نقاط دنیا وجود ندارد و فرایند محاسبه آن وقت‌گیر و مشکل است (سیلو، ۲۰۰۴)، از این‌رو محققان مختلف با استفاده از آمار زودیافت بارندگی (روزانه و ماهانه) که در ایستگاه‌های باران سنج در دسترس است، توانسته‌اند شاخص‌های ساده‌تر و زودیافت ارائه کنند. این شاخص‌ها یا از طریق تحلیل منطقه‌ای تولید رسمی یا از طریق برقراری همبستگی و رابطه با زودیافت آمده‌اند. ویشمایر و اسمیت (۱۹۷۸) نشان دادند هنگامی که دیگر فاکتورهای مرتبط با بارش ثابت است، تلفات خاک متناسب با بارش ثابت است و تلفات خاک متناسب با انرژی بارش (E) در زمان‌های حداقل ۳۰ دقیقه در مقادیر مربوط به شدت I_{30} است (برآورد دقیق این شاخص نیاز به داده‌های مداوم و طولانی‌مدت بارش دارد).

برای مقابله با فقدان و کمبود داده‌ها دیگر شاخص‌ها گاه همبستگی‌های بهتری جهت اندازه‌گیری فرسایندگی نسبت به R دارد که بعضی از معروف‌ترین این شاخص‌ها عبارت است از ضرایب بارش‌های ماهانه و سالانه از قبیل

KE>25 (هادسون، ۱۹۷۱)، شاخص فورنیه (فورنیه، ۱۹۶۰)، شاخص فورنیه اصلاح شده^۱ (آنولز، ۱۹۷۷) و شاخص با پایهٔ فیزیکی A (سوخانووسکی و همکاران، ۲۰۰۲).

اودنگب و همکاران (۲۰۰۸) برای تهیه نقشهٔ فرسایندگی باران از شاخص فرسایندگی باران مدل‌های USLE و RUSLE استفاده کردند. همبستگی بین شاخص فرسایندگی سالانه و میزان بارندگی سالانه به میزان $r^2 = 0.83$ نشان‌دهندهٔ همبستگی بالای این دو است. افگبون و همکاران (۲۰۱۱) در منطقه اوگان^۲ در نیجریه با استفاده از آمار بارندگی ۲۰ ساله به بررسی میزان فرسایندگی باران با استفاده از شاخص فورنیه اصلاح شده پرداختند. مقدار فرسایندگی سالانه $19583/82$ ($MJ.mm/ha.h.yr$) و ضریب همبستگی بین مقدار فرسایندگی سالانه و بارندگی سالانه $r^2 = 0.77$ بهدست آمد. با رسم نقشه‌های فرسایندگی مشخص شد بیشترین مقدار آن مربوط به جنوب غرب منطقه است. کاویان و همکاران (۲۰۱۱) در تحقیقی به تهیه نقشهٔ فرسایندگی باران در حوضه آبخیز گرگان رود پرداختند. ایشان از آمار شش ایستگاه باران‌نگار (فواصل زمانی ۱۵ دقیقه‌ای) و یازده ایستگاه باران‌سنجد استفاده کردند. نتایج آنالیز آماری نشان داد که مقادیر EI_{30} اختلاف معناداری بین فصل‌های پاییز/زمستان و زمستان/بهار دارد. همچنین، نتایج حاکی از این بود که طی فصل تر، فرسایندگی از ۴۳۸ میلی‌ژول بر میلی‌متر در ساعت در غرب منطقه یا مقدار ۱۰۱۵ میلی‌ژول در میلی‌متر در ساعت در میانهٔ منطقه متفاوت است. اما در فصل خشک، مقدار آن کمتر از مقادیر مربوط به فصل تر و بیشترین مقدار مربوط به مرکز منطقه و کمترین آن مربوط به غرب و شرق منطقه مورد مطالعه است.

مرادی و همکاران (۱۳۸۵) در تحقیقی به منظور بررسی ارتباط بین پارامترهای بارندگی و شاخص EI_{30} ، از آمار ۱۳ ساله سه ایستگاه هواشناسی در استان خوزستان و یک ایستگاه در هر یک از استان‌های بوشهر و کهگیلویه و بویراحمد استفاده کردند. آن‌ها رابطهٔ رگرسیونی بین خصوصیات بارندگی و فرسایندگی را در مقاطع زمانی، ماهانه، فصلی و سالانه بررسی کردند. نتایج نشان‌دهندهٔ ارتباط بالای فرسایندگی با مقدار حداکثر شدت ۳۰ دقیقه‌ای بود و مشخص شد که فصل زمستان و نیز ماه‌های بهمن، آذر، اسفند و دی در اولویت اول از نظر خطر فرسایندگی قرار دارد.

شریفیان (۱۳۸۶) در ایستگاه سینوبتیک گرگان (۱۹۷۳-۱۹۸۳) به منظور محاسبهٔ شاخص R در روش ویشمایر از آمار ۱۰ دقیقه‌ای استفاده کرد. وی با استفاده از نتایج بهدست آمده، و تعیین روابطی بین R محاسبه شده و پارامترهای مختلف بارندگی نظیر میزان بارندگی، باران روزانه، حداکثر باران روزانه، حداکثر شدت باران یک ساعته، باران شش ساعته و باران سالانه، معادلاتی برای برآورد ضریب فرسایندگی بهدست آورد که بعضی از این معادلات از ضریب همبستگی بالا و دقت مناسبی برخوردار است.

همتی و همکاران (۱۳۸۶) با استفاده از آمار تلفات ۲۴ پلات احداث شده در منطقه کبوده علیا در استان کرمانشاه، به این نتیجه رسیدند که شاخص EI_{60} بیشترین همبستگی را با مقادیر تلفات خاک دارد. حکیم‌خانی و حکیم‌خانی (۱۳۸۸) در استان لرستان با استفاده از شاخص R (EI_{30}) در مدل USLE به تهیه نقشهٔ فرسایندگی باران پرداختند. آن‌ها به منظور برآورد این شاخص در مناطق فاقد داده‌های ایستگاه‌های باران‌نگار، رابطهٔ رگرسیونی بین شاخص EI_{30} و

1. Modified Fournier

2. Ogun

شاخص‌های زودیافت را بررسی کردند که مناسب‌ترین رابطه رگرسیونی بر مبنای متغیر شاخص فورنیه به ضریب تعیین و اشتباه استاندارد به ترتیب برابر با 0.955 و 112 به‌دست آمد.

علی‌پور و همکاران (۱۳۸۹) در تحقیقی شاخص‌های EI_{30} , Lal, هادسون و Onchev را در شانزده ایستگاه ثبات بارندگی و سه ایستگاه نزدیک به حوضه دریاچه نمک در دوره آماری ۱۶ تا ۲۶ ساله به‌دست آوردند. سپس، با بررسی رابطه همبستگی بین این شاخص‌ها و خصوصیات زودیافت بارندگی، مدل‌های رگرسیونی مختلف را در ایستگاه‌های فقد باران‌سنجد و آمار به‌دست آوردند. نیک‌کامی و مهدیان (۱۳۹۳) به تهیه نقشه فرسایندگی باران در ایران پرداختند. ایشان ابتدا به منظور بررسی شاخص‌های فرسایندگی باران و انتخاب مناسب‌ترین آن‌ها شاخص مختلف را محاسبه و همبستگی آن‌ها را با تلفات خاک در هفت استان بررسی کردند و EI_{30} مناسب‌ترین شاخص معرفی شد. سپس، شاخص مذکور در ایستگاه‌های دارای باران‌نگار محاسبه و رابطه‌ای بین این شاخص و تعدادی از شاخص‌های زودیافت نظری فورنیه، فورنیه اصلاح‌شده، باران متوسط سالانه، حداقل بارندگی روزانه برقرار شد. سپس، با استفاده از شاخص فورنیه اصلاح‌شده به منزله شاخص انتخابی، شاخص EI_{30} برای تمامی ایستگاه‌های باران‌سنجد فاقد باران‌نگار محاسبه و نقشه پهن‌بندی فرسایندگی با استفاده از روش اسپلاین^۱ برای کل ایران رسم شد.

سانچز و همکاران (۲۰۱۴) به تهیه نقشه فرسایندگی باران در منطقه Cape Verde پرداختند. نقشه فرسایندگی از آمار ۷ ساله بارش با تداوم زمانی ۱۵ دقیقه‌ای و با استفاده از روابط سینتیک انرژی-شدت به‌دست آمد. بین فاکتور فرسایندگی R سالانه حاصل از مقادیر EI_{30} با مقادیر بارش سالانه و شاخص فورنیه اصلاح‌شده و حاصل از داده‌های درازمدت ماهانه رابطه همبستگی برقرارشده. سرانجام، فرسایندگی درازمدت سالانه با استفاده از شاخص فورنیه اصلاح‌شده به نقشه تبدیل شد و مقدار سالانه فاکتور فرسایندگی R به بیش از 1700 ($J.mm.m^{-2}.h^{-1}$) رسید. با توجه به رابطه همبستگی بین ارتفاع و بارش در منطقه مورد مطالعه، بیشترین مقادیر فرسایندگی مربوط به ارتفاعات بالا، شبکه‌های تندر و خاک‌های کم‌عمق است.

ما و همکاران (۲۰۱۴) به بررسی تغییرات مکانی و زمانی فرسایندگی باران در حوضه آبخیز کیحی^۲ در منطقه هیمالایا پرداختند. ایشان با استفاده از داده‌های بارش با تداوم ۱۰ دقیقه‌ای ضریب فرسایندگی R در معادله جهانی فرسایش خاک را برآورد کردند. مقدار میانگین آن 3264 ($Mj.mm.ha^{-1}.h^{-1}.yr^{-1}$) و محدوده آن 2505 تا 5538 به دست آمد. رابطه همبستگی قوی‌ای بین ضریب R و بارش سالانه به‌دست آمد. صادقی و توانگر (۲۰۱۵) با استفاده از آمار ۲۳ ساله مربوط به ۱۴ ایستگاه در ایران به تهیه نقشه فرسایندگی باران با روش ویشمایر و اسمنیت پرداختند. این شاخص با شاخص‌های مختلف فورنیه، فورنیه اصلاح‌شده، Roose و Lo تخمین زده شد. نتایج نشان داد که شاخص Roose و Lo انطباق بیشتری در تخمین شاخص ویشمایر و اسمنیت با ضریب تبیین 31 تا 98 درصد ($P<0.32$) و خطای نسبی 9 و $98/3$ درصد دارد.

پانگوس و همکاران (۲۰۱۵) به بررسی ضریب فرسایندگی باران (R) مورد استفاده در معادله جهانی فرسایش خاک

1. Spline
2. Kejie

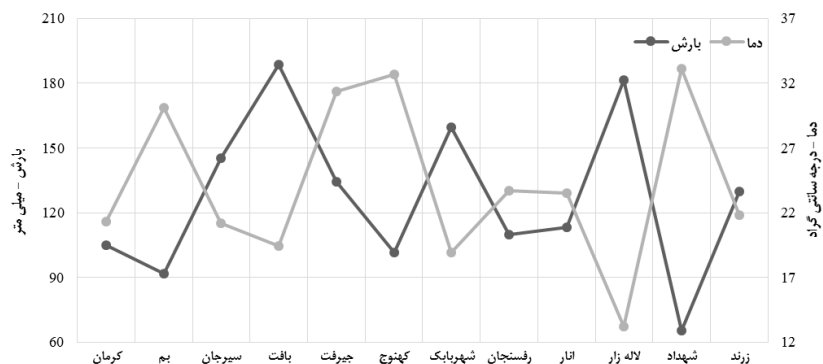
(USLE) پرداختند. هدف از تحقیق ایشان ارزیابی فرسایش‌پذیری بارش در اروپا بر اساس داده‌های مربوط به ۱۵۴۱ ایستگاه باران سنج با فواصل زمانی ۵ تا ۴۰ دقیقه در کل محدوده اروپاست که با استفاده از توابع رگرسیون خطی در فواصل زمانی ۳۰ دقیقه‌ای به دست آمد. میانگین مقدار R به دست آمده مربوط به منطقه سویس و برابر با ۷۲۲ $Mj.mm.ha^{-1}.h^{-1}.yr^{-1}$ (Mj.mm.ha⁻¹.h⁻¹.yr⁻¹) و بیشترین آن برابر با ۱۰۰۰ (Mj.mm.ha⁻¹.h⁻¹.yr⁻¹) مربوط به منطقه مدیترانه و ناحیه آپاین و کمترین مقدار آن کمتر از ۵۰۰ (Mj.mm.ha⁻¹.h⁻¹.yr⁻¹) مربوط به منطقه نوردیک به دست آمد. در پایان نقشه پهن‌بندی ضریب R با روش رگرسیون گوسین (GPR) برای کل اروپا تهیه شد. بر اساس تحقیق‌های داخلی و خارجی می‌توان گفت که شاخص فرسایندگی باران یکی از بهترین شاخص‌های ارزیابی فرسایش خاک است.

استان کرمان در جنوب‌شرقی ایران واقع شده است و به دلیل شرایط خاص اقلیمی از لحاظ پوشش گیاهی پوشش متوسط و پتانسیل فرسایش بالایی دارد. شناسایی مقادیر بارندگی و توزیع فصلی و مکانی آن، همچنین تعیین شاخص فرسایندگی باران نقطه شروعی در شناسایی مناطق با پتانسیل بالای فرسایش‌پذیری به منظور برنامه‌ریزی‌های پیشگیری مدیریتی فرسایش است که این شاخص تا به حال در استان کرمان تعیین نشده است. بنابراین، هدف از انجام تحقیق حاضر دستیابی به نقشه فرسایش‌پذیری استان کرمان و انتخاب مناسب‌ترین روش درون‌یابی است که تاکنون برای استان کرمان به طور جداگانه انجام نشده است. در این تحقیق سعی شده است که نتایج حاصل از داده‌های باران‌نگارهای ثبات به داده‌های باران‌نگارهای غیرثبات تعمیم داده شود.

مواد و روش‌ها

منطقه مورد مطالعه

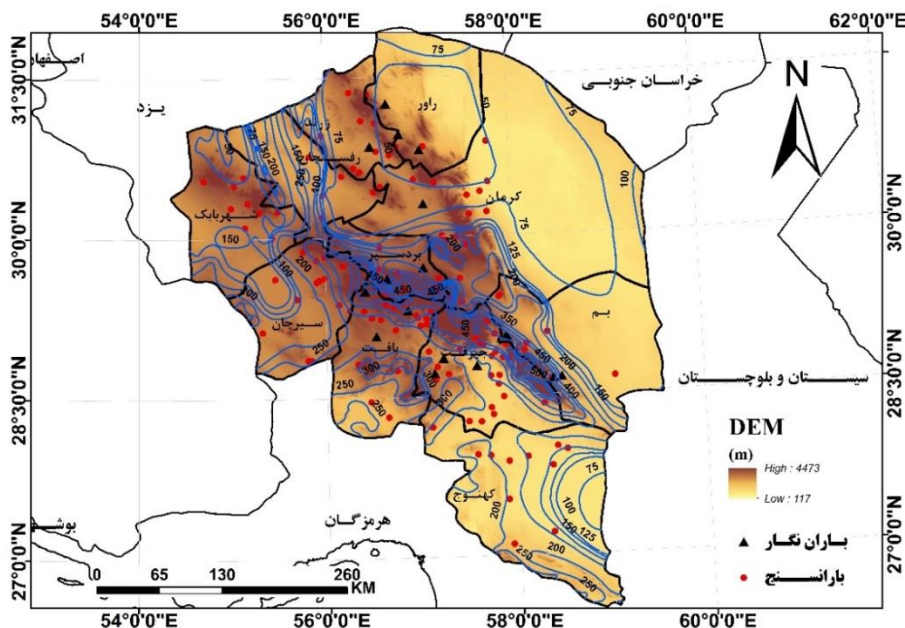
استان کرمان در جنوب‌شرقی ایران و با مساحت ۱۸۱۷۱۴ کیلومترمربع قرار گرفته، و در برگیرنده بیش از ۱۱ درصد از وسعت ایران است که از لحاظ وسعت خاکی بزرگ‌ترین استان ایران و در جنوب شرقی فلات مرکزی و بین ۵۳° و ۲۶° تا ۵۹° و ۲۹° طول شرقی و ۳۲° و ۵۵° تا ۲۵° عرض شمالی قراردارد. ارتفاع حداقل استان ۴۴۷۳ متر در ارتفاعات مرکزی (ارتفاعات هزار در بر دسیم) و ارتفاع حداقل آن ۱۱۷ متر در شرق استان (دشت شهداد) واقع شده است. متوسط بارندگی سالانه استان در سال آبی ۱۳۹۲-۹۳ از حدود ۱۸۸/۵ میلی‌متر در جنوب‌غربی (ارتفاعات شهرستان بافت) تا کمتر از ۶۵/۵ میلی‌متر (دشت شهداد) در شرق استان تنزل دارد. میانگین دمای هوا در همین سال از کمتر از ۱۳/۲ درجه سانتی‌گراد در مرکز استان (ارتفاعات هزار) تا بیش از ۳۳/۱ درجه سانتی‌گراد (شهداد) متغیر است. اقلیم غالب منطقه با سیستم دومارتن اصلاح شده نیمه‌خشک است که ۳۹/۷ درصد استان را پوشانده است. شکل ۱ نمودار بارندگی و دمای شهرستان‌های استان و شکل ۲ موقعیت استان کرمان در ایران و استان‌های مجاور را نشان می‌دهد.



شکل ۱. نمودارهای بارندگی و دمای شهرستان‌های استان کرمان

انتخاب ایستگاه‌ها و جمع‌آوری آمار بارندگی

در این تحقیق از مجموع ایستگاه‌های سینوپتیک، کلیماتولوژی، تبخیرسنجدی و باران‌سنجدی معمولی وابسته به وزارت نیرو و اداره هواشناسی داخل استان کرمان، با دوره آماری بیش از ۲۰ سال استفاده شد. کیفیت آمار هر یک از ایستگاه‌های انتخابی از طریق بررسی مقادیر خیلی زیاد و خیلی کم انجام گرفت و در صورت مشاهده داده‌های پرت، نسبت به حذف آن‌ها اقدام شد. تست نرمال‌بودن داده‌ها با استفاده از آزمون کولموگروف- اسمیرنوف در نرم‌افزار 22 SPSS بررسی شد. لذا، با بررسی تمامی ایستگاه‌های هواشناسی انتخابی ۱۳۵ ایستگاه باران‌سنجد معمولی و ۱۷ باران‌نگار مناسب تشخیص داده شد که موقعیتشان روی نقشه^۱ DEM در استان کرمان در شکل ۲ نشان داده شده است.



شکل ۲. موقعیت ایستگاه‌های باران‌نگار، باران‌سنجد انتخاب شده و خطوط هم‌باران در استان کرمان

1. Digital Elevation Model (DEM)

شاخص فرسایندگی باران (EI_{30})

ویشمایر و اسمیت (۱۹۵۸) برای محاسبه شاخص فرسایندگی (EI_{30}) در معادله جهانی فرسایش خاک (USLE)، از حاصل ضرب انرژی جنبشی بارندگی (E) در حداقل شدت 30 دقیقه‌ای (I_{30}) بر حسب مگازول میلی‌متر بر هکتار در ساعت در سال ($Mj.mm.ha^{-1}.yr^{-1}$) در سیستم SI استفاده کردند. بهمنظور محاسبه فرسایندگی به روش مذکور ابتدا انرژی جنبشی رگبار با استفاده از رابطه (۱) محاسبه شد.

$$KE_i = 210 / 3 + 89 \log I_i \quad (1)$$

که در آن KE_i انرژی جنبشی باران بر حسب مگازول بر مترمربع در سانتی‌متر باران و I_i شدت بارندگی بر حسب ساعتی‌متر بر ساعت برای گام‌های زمانی است. سپس، با استفاده از رابطه (۲) فرسایندگی باران محاسبه می‌شود.

$$R = \frac{\sum_{i=1}^n EI_{30}}{100} \quad (2)$$

که در آن R عامل فرسایندگی باران بر حسب تن متر بر هکتار ساعت، $\sum_{i=1}^n E$ مجموع انرژی جنبشی رگبار و I_{30} حداقل شدت بارش 30 دقیقه‌ای پیوسته به ساعتی‌متر بر ساعت است. دلیل انتخاب این شاخص زودیافت‌بودن آن است، ضمن اینکه شاخصی مناسب در شرایط متفاوت اقلیمی است که به دفعات در اکثر نقاط کشور، همچنین خارج از کشور استفاده می‌شود و از مقیولیت بیشتری برخوردار است. لذا، در تحقیق حاضر اقدام به برآورد این شاخص با استفاده از دیگر شاخص‌ها شده است.

محاسبه شاخص‌های زودیافت

محاسبه EI_{30} مستلزم وجود آمار شدت بارندگی است که در ایستگاه‌های مجهز به باران‌نگار تهیه می‌شود. چنین آماری در بیشتر ایستگاه‌های هواشناسی استان کرمان وجود ندارد و باید آن را برای ایستگاه‌های یادشده برآورد کرد. این برآورد را با استفاده از معادله رگرسیونی بین شاخص EI_{30} و شاخص‌های زودیافت می‌توان به دست آورد. در این تحقیق تعدادی از مهم‌ترین شاخص‌های زودیافت برای ایستگاه‌های مجهز به باران‌نگار شامل شاخص‌های فورنیه (F)، فورنیه اصلاح شده (MF)، شاخص فورنیه متوسط سالانه (Fa)، شاخص فورنیه کلی (Ft)، شاخص فورنیه اصلاح شده متوسط سالانه (MFa)، شاخص فورنیه اصلاح شده کلی (MFt)، متوسط بارندگی حداقل روزانه (M_d)، بارندگی متوسط سالانه (P)، متوسط تعداد روزهای با بارندگی بیش از 10 میلی‌متر (N_{10})، متوسط حداقل بارندگی‌های ماهانه (مرطوب‌ترین ماه سال) در دوره آماری (M_p)، مجدور متوسط حداقل بارندگی‌های ماهانه در دوره آماری (M_p^2) و متوسط بارندگی حداقل روزانه (M_d) استفاده شده است که در ادامه شرح می‌دهیم.

محاسبه شاخص‌های فورنیه

شاخص‌ای فورنیه (F) و فورنیه اصلاح شده (MF) این دو شاخص از معروف‌ترین شاخص‌هایی است که همبستگی بالای

آن‌ها با شاخص EI_{30} در تحقیقات زیادی (از جمله اونچف، ۱۹۸۵) به اثبات رسیده است (رابطه ۳).

$$F = \frac{P}{P} \quad (3)$$

که در آن P میانگین حداکثر بارندگی (مرطوب‌ترین ماه) ماهانه و P میانگین سالانه بارندگی است (مورگان، ۱۹۹۵). همچنین، آرنولدوز (۱۹۸۰) از شاخص فورنیه برای تخمین R سالیانه استفاده کرد. وی شاخص اصلاح‌شده فورنیه را به صورت رابطه (۴) معرفی کرد.

$$MF = \frac{\sum_{i=1}^{12} P_i}{P} \quad (4)$$

که در آن P_i متوسط بارش در ماه i سال و P متوسط سالانه بارندگی است که در این مورد همبستگی بهتری را نشان داد (آرنولدوز، ۱۹۸۰). در شاخص فورنیه کلی (Ft) مجدور متوسط حداکثر بارندگی ماهانه در طول دوره آماری محاسبه شد و به متوسط بارندگی سالانه تقسیم می‌شود. شاخص فورنیه متوسط سالانه (Fa) از تقسیم مجدور حداکثر بارندگی ماهانه هر سال به بارندگی همان سال به دست می‌آید. سپس، در طول دوره آماری میانگین‌گیری شده است. شاخص فورنیه اصلاح‌شده کلی (MFt) مجدور متوسط بارندگی هر ماه در طول دوره آماری محاسبه شده و مجموع آن‌ها به متوسط بارندگی سالانه تقسیم شده است (آرنولدز، ۱۹۷۷؛ آرنولدز، ۱۹۸۰؛ میخایلو و همکاران، ۱۹۹۷؛ هادلی و همکاران، ۱۹۸۵؛ شمشاد و همکاران، ۲۰۰۸). شاخص دیگر فورنیه، فورنیه اصلاح‌شده متوسط سالانه (MFa) است که در آن برای هر سال یک شاخص حساب می‌شود. سپس، میانگین آن‌ها گرفته می‌شود؛ به این صورت که مجدور بارندگی هر ماه در هر سال محاسبه شده و با تقسیم مجموع آن‌ها به بارندگی همان سال، مقدار شاخص فورنیه سال یاد شده به دست آمده است. برای به دست آوردن شاخص متوسط ایستگاه از مقادیر شاخص یادشده در طول دوره آماری میانگین‌گیری شده است (فرو و پورتو، ۱۹۹۹؛ حکیم‌خانی و حکیم‌خانی، ۱۳۸۹).

برآورد شاخص EI_{30} با استفاده از رابطه رگرسیونی

به منظور برآورد شاخص EI_{30} در ایستگاه‌های باران‌سنگی، رابطه رگرسیونی بین این شاخص (متغیر وابسته) و شاخص‌های زودیافت (متغیر مستقل) از طریق رگرسیون گام‌به‌گام^۱ بررسی شد. سپس، روابط ریاضی بین آن‌ها برقرار شد و بهترین معادله با درنظر گرفتن معیارهای ضریب تعیین و اشتباہ استاندارد به دست آمد. در نهایت، شاخص مذکور (EI_{30}) برای ایستگاه‌های فاقد باران‌نگار برآورد شد.

تهیه نقشه پهن‌بندی شاخص فرسایندگی باران

برای تبدیل مقادیر برآوردهی نقطه‌ای مربوط به شاخص فرسایندگی باران (EI_{30}) به نقشه پهن‌بندی از روش‌های

درون‌یابی زمین‌آماری استفاده شد، شامل کریجینگ ساده^۱، کریجینگ معمولی^۲، و کوکریجینگ^۳ (با متغیرهای کمکی) در نرم‌افزار 10.3 ArcGIS. برای این منظور ابتدا مقادیر مناسب Lag با استفاده از نرم‌افزار GS+ تعیین شد و بعد واریوگرام تجربی و در بی آن واریوگرام مدل به صورت مجزا با استفاده از روش‌های مختلف تولید واریوگرام تهیه شد. برای محاسبه میزان خطای این روش‌های میان‌یابی و ارزیابی کارایی آن‌ها از تکنیک ارزیابی متقابل استفاده شد. در اینجا از معیارهای میانگین خطای اریب (MBE)، میانگین خطای مطلق (MAE)، ریشه دوم میانگین مربع خطأ (RMSE) استفاده شده است.

$$RMSE = \sqrt{\frac{\sum_{i=1}^n [Z^*(X_i) - Z(X_i)]^2}{n}} \quad (5)$$

$$MBE = \frac{1}{n} \sum_{i=1}^n (Z^*(X_i) - Z(X_i)) \quad (6)$$

$$MAE = \frac{1}{n} \sum_{i=1}^n |Z^*(X_i) - Z(X_i)| \quad (7)$$

که در آن‌ها $Z^*(X_i)$ مقادیر برآورده شده متغیر x در نقطه i ، $Z(X_i)$ مقادیر مشاهده شده متغیر x در نقطه i و n تعداد متغیر مشاهده شده است.

روش‌های زمین‌آماری کریجینگ

کریجینگ برآوردگری است که بر منطق میانگین متحرک وزن‌دار استوار است. مقادیر یک متغیر را در نقاط نمونه‌برداری نشده به صورت ترکیبی خطی از مقادیر همان متغیر در نقاط اطراف آن در نظر می‌گیرد و برای برآورد نقاط ناشناخته، به هریک از نمونه‌ها وزنی نسبت می‌دهد. بهترین برآوردکننده خطی ناریب است (معادله ۸).

$$Z_c = \sum_{i=1}^n \lambda_i Z(X_i) \quad (8)$$

که در آن $Z(X_i)$ مقدار اندازه‌گیری شده متغیر در مکان (X_i) ، Z_0 مقدار برآورده شده متغیر در نقطه (X_i) ، λ_i وزن یا اهمیت کمیت وابسته به نمونه نام که بر اساس مقدار کمیت وابسته به نمونه در نقاط معلوم، به پارامتر موردنظر داده می‌شود و n تعداد نقاطی است که متغیر در آن‌ها اندازه‌گیری شده است (ایستگاه). شرط استفاده از این برآوردگر این است که متغیر دارای توزیع نرمال است (زهتابیان و همکاران، ۱۳۸۹؛ رضایی و همکاران، ۱۳۸۹). در این تحقیق از روش‌های کریجینگ ساده، کریجینگ معمولی، لگاریتم داده‌ها در روش کریجینگ و کوکریجینگ استفاده شد.

1. SK
2. OK
3. CoK

یافته‌های پژوهش

در استان کرمان تنها هفده ایستگاه باران‌نگار دارد که در این تحقیق انتخاب شدند. نام این ایستگاه‌ها و شاخص EI_{30} و دیگر شاخص‌های زودیافت در جدول ۱ آمده است.

جدول ۱. مقادیر شاخص‌های فرسایندگی باران در ایستگاه‌های هواشناسی مطالعاتی مججهز به باران‌نگار

N _t	EI ₃₀	MFt	MFa	Ft	Fa	Mp ²	Mp	N ₁₀	P	M _d	H	ایستگاه
۱۴/۳	۱۴۶/۹۱	۲۲/۶۲	۳۳/۱۷	۱۴/۳۲	۱۶/۱۲	۲۲۱۴/۶۲	۴۶/۷۴	۴/۸۲	۱۵۴/۴	۱۳/۷۴	۲۵۹۷	چهارطاق
۷/۲	۱۰۱/۹۳	۱۲/۹۶	۳۲/۵۶	۹/۴۷	۱۱/۲۳	۱۷۱۸/۰۱	۴۰/۱	۴/۶۲	۱۳۴/۲	۱۴/۱	۲۳۴۰	قریه العرب
۱۳/۴	۱۶۳/۹۴	۲۳/۱۷	۳۹/۵	۱۳/۷۵	۱۶/۵۲	۳۱۲۴/۰۹	۵۴/۳۷	۴/۶۷	۱۷۶/۴	۱۶/۴۶	۲۴۶۹	جفرآباد
۱۸/۱	۸۰/۳۷	۱۳/۴۷	۲۱/۴۲	۹/۳۲	۱۱/۸۳	۱۲۶۳	۳۴/۴	۳/۳۴	۱۱۷/۳	۱۲/۴۶	۱۶۵۸	علی‌آباد سفلی
۱۳/۵	۳۵/۰۹	۴/۴۲	۹/۳۲	۳/۱۴	۴/۷۶	۴۱۷/۳۲	۱۸/۲۳	۱/۸۲	۵۶/۴	۵/۸۳	۱۴۳۵	انجیرک
۱۱/۶	۱۰۹/۳۱	۱۶/۹۷	۳۱/۹۴	۱۱/۱۴	۱۳/۴۲	۱۸۰۲/۲۵	۴۰/۲۳	۴/۲۴	۱۳۶/۸۹	۱۳/۸۲	۲۴۶۰	چشممه عروس
۲۵/۷	۱۴۷/۰۶	۲۲/۱۸	۳۲/۵۶	۱۱/۸۳	۱۳/۹۲	۲۵۷۴/۳۴	۴۹/۴۲	۳/۸۴	۱۷۴/۲۴	۱۶/۱	۲۰۶۰	دھبکری
۹/۵	۲۴/۹۱	۷/۳۲	۱۴/۱۷	۴/۲	۵/۶۲	۳۳۱/۳۷	۱۷/۳۶	۱/۸۳	۳۹/۸	۵/۴۲	۱۷۳۴	دولت‌آباد اسفندقه
۹/۳	۶۹/۰۷	۱۰/۸۷	۱۷/۴۶	۸/۳۶	۹/۲۷	۷۸۶/۹۱	۲۶/۴۸	۲/۷	۹۳/۲۳	۹/۱	۱۶۹۵	قدرونی
۱۲/۸	۴۷/۶۸	۷/۵۳	۱۳/۹۳	۵/۲۴	۶/۶	۴۶۵/۵۱	۲۰/۶۳	۱/۹۳	۷۱/۲۳	۶/۴۳	۹۲۷	حسین‌آباد
۱۰/۳	۹۳/۶۸	۱۴/۵۳	۳۰/۳۶	۱۱/۱۴	۱۳/۲	۱۵۴۲/۲	۳۸/۲۱	۴/۱۸	۱۱۹/۱	۱۰/۹	۱۷۶۹	کرمان
۱۵/۷	۲۷/۵۴	۴/۶۷	۹/۶۲	۳/۵۲	۴/۸۶	۳۱۴/۳۲	۱۶/۸۵	۱/۵۲	۴۲/۴	۶/۵۷	۱۴۵۶	کناروئیه
۱۱/۱	۵۳/۲۹	۸/۳۲	۱۱/۱۸	۶/۲۴	۸/۳	۵۴۶/۲۵	۲۲/۷۲	۲/۴۲	۷۳/۵۴	۷/۷۸	۱۱۹۸	راور
۱۹/۶	۱۰۵/۴۵	۱۶/۳۷	۲۹/۴۱	۱۰/۳	۱۳/۲۹	۱۸۴۷/۳۳	۴۱/۴۷	۵/۱	۱۳۴/۵۶	۱۱/۳۶	۱۸۴۴	سارنگ
۴۰/۳	۲۱۳/۷۴	۲۳/۸۴	۴۰/۰۴	۱۵/۰۶	۱۹/۰۷	۵۱۲۱/۲۶	۷۰/۷۱	۵/۶۳	۱۹۴/۷	۳۰/۵۴	۲۰۷۰	سلطانی
۱۶/۵	۲۶/۱۴	۴/۲۸	۹/۲۸	۲/۵۶	۴/۷۳	۲۷۳/۱	۱۵/۸	۱/۵۱	۳۳/۷	۵/۴۲	۱۲۳۰	پالخری
۱۸/۴	۱۹۰/۳۵	۲۴/۱۲	۳۹/۷۴	۱۶/۵۱	۱۸/۶۸	۳۵۴۵/۴۹	۵۷/۸۳	۵/۳۸	۱۸۳/۶	۲۳/۳۶	۲۸۱۶	هفت‌کوسک

H ارتفاع از سطح دریا به متر، M_d متوسط بارندگی حداقل روزانه به میلی‌متر، P متوسط بارندگی سالانه به میلی‌متر، N₁₀ متوسط تعداد روزهای با بارندگی بیش از ۱۰ میلی‌متر، Mp متوسط حداقل بارندگی ماهانه به میلی‌متر، Fa شاخص فورنیه متوسط سالانه به میلی‌متر، Ft شاخص فورنیه کلی به میلی‌متر، MFt شاخص فورنیه اصلاح شده متوازن به میلی‌متر، MFa شاخص فورنیه اصلاح شده کلی به میلی‌متر، EI₃₀ بر حسب مکارول - میلی‌متر بر هکتار در ساعت در سال و N_t تعداد روزهای باران در سال است.

با توجه به جدول ۱، حداقل، حداقل و میانگین شاخص EI₃₀ به ترتیب ۲۴/۹۱، ۲۱۳/۷۴ و ۹۶/۲۶ و مگارول - میلی‌متر بر هکتار در ساعت در سال است. به منظور بررسی روابط و ضرایب همبستگی بین متغیرهای مستقل و متغیر وابسته (EI₃₀) و همبستگی بین متغیرهای مستقل، ماتریس همبستگی در جدول ۲ نشان داده شده است.

جدول ۲. ماتریس همبستگی شاخص‌های مورد بررسی

N _t	MFt	MFa	Ft	Fa	Mp ²	M _p	M _d	N ₁₀	P	EI ₃₀	شاخص
-	-	-	-	-	-	-	-	-	-	۱	EI ₃₀
-	-	-	-	-	-	-	-	-	۱	۰/۸۴۷	P
-	-	-	-	-	-	-	-	۱	۰/۸۳۹	۰/۷۳۴	N ₁₀
-	-	-	-	-	-	-	۱	۰/۷۴۱	۰/۷۹۱	۰/۷۹۷	M _d
-	-	-	-	-	-	۱	۰/۸۵۳	۰/۸۳۵	۰/۸۷۶	۰/۸۸۲	Mp
-	-	-	-	-	۱	۰/۸۸۱	۰/۸۷۹	۰/۷۷۳	۰/۸۲۳	۰/۸۵۲	Mp ²
-	-	-	-	-	۰/۸۲۵	۰/۸۷۲	۰/۷۹۵	۰/۸۵۳	۰/۸۷۳	۰/۸۴۳	Fa
-	-	-	۱	۱	۰/۷۹۲	۰/۸۵۱	۰/۷۶۲	۰/۸۴۹	۰/۸۶۶	۰/۸۱۶	Ft
-	-	۱	۰/۸۵۶	۰/۸۹۳	۰/۸	۰/۸۵۶	۰/۷۸۵	۰/۷۵۸	۰/۸۶۳	۰/۷۸۶	MFa
-	۱	۰/۸۵۲	۰/۸۷۵	۰/۸۵۸	۰/۸۰۹	۰/۸۵۹	۰/۷۵۹	۰/۸۱	۰/۸۷۴	۰/۸۳۷	MFt
۱	۰/۴۸۵	۳۸۷	۰/۴۰۶	۰/۸۷۷	۰/۷	۰/۶۰۸	۰/۷۰۸	۰/۴۰۲	۰/۴۹۸	۰/۶۵۲	N _t

تمامی همبستگی‌ها در سطح معناداری ۰/۰۱.

طبق جدول ۲، شاخص EI₃₀ بیشترین همبستگی را با شاخص Mp² (R²= ۰/۸۸۲) دارد و شاخص‌های P و Mp² با ضرایب همبستگی ۰/۸۵۲ و ۰/۶۳۸ نشان داد. تمامی متغیرها به غیر از ارتفاع ایستگاه (H) کمترین همبستگی را با شاخص EI₃₀ (R²= ۰/۸۴۳) نشان داد. تمامی متغیرها به تأثیرپذیری آن‌ها نسبت به هم را نشان می‌دهد. برای مثال، شاخص Fa (فونیک متوسط سالانه) دارای ضریب همبستگی برابر با ۰/۸۹۳ با شاخص Ft (فونیک کلی) است. مهم‌ترین دلیل همبستگی بالای بین شاخص‌ها لحاظ‌شدن بارندگی در آن‌هاست. از بین روابط مختلف حاصل از ترکیب و همبستگی شاخص‌ها، رابطه (۹) به دلیل داشتن ضریب تعیین بالا و اشتباه استاندارد برآورده شده کمتر برای انجام محاسبات انتخاب شده است. شکل ۳ خط برآورده شده بین شاخص EI₃₀ و MP_t همچنین جدول ۳ دیگر روابط به دست‌آمده را نشان می‌دهند.

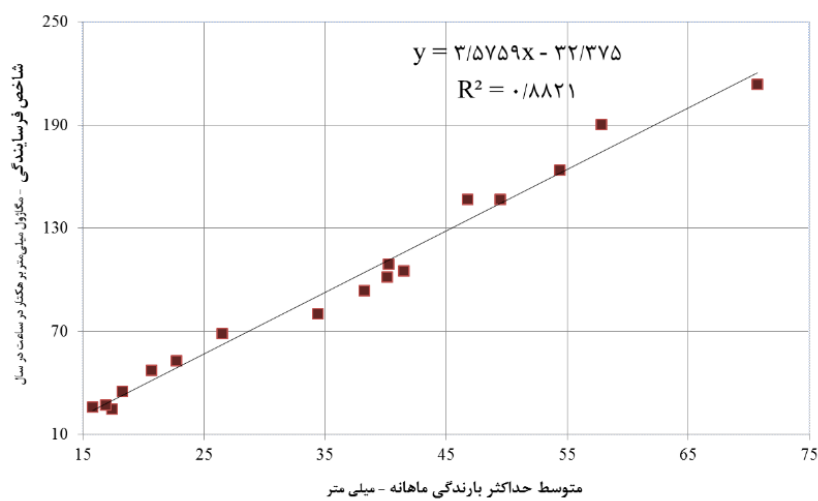
$$EI_{\tau} = ۳/۵۷۵۹Mp - ۳۲/۳۷۵ \quad (9)$$

در این رابطه Mp متوسط حداکثر بارندگی ماهانه به میلی‌متر و واحد EI₃₀ مگاژول - میلی‌متر بر هکتار در ساعت و در سال است. لازم به ذکر است که این رابطه در سطح خطای ۱ درصد معنادار است.

جدول ۳. معادلات مربوط به همبستگی شاخص‌های مورد بررسی با شاخص EI₃₀

شاخص	معادله شاخص فرسایندگی (مگازول- میلی‌متر بر هکتار در ساعت در سال)	R ²
متوجه حداکثر بارندگی ماهانه	$۳ / ۵۷۵۹ Mp - ۳۲ / ۳۷۵$	۰/۸۸۲
متوجه حداکثر بارندگی ماهانه)	$۰ / ۰۴۲۶ Mp + ۲۶ / ۳۳۵$	۰/۸۵۲
متوجه بارندگی سالانه	$۱ / ۰۷۶۳ P - ۲۶ / ۲۲۶$	۰/۸۴۷
فورنیه متوجه سالانه	$۱۱ / ۸۳۷ Fa - ۳۷ / ۰۲۶$	۰/۸۴۳
فورنیه اصلاح‌شده کلی	$۷ / ۹۱۹ MFt - ۱۴ / ۴۳۶$	۰/۸۳۷
فورنیه کلی	$۱۲ / ۸۱۲ Ft - ۲۱ / ۷۰۹$	۰/۸۱۶
متوجه بارندگی حداکثر روزانه	$۸ / ۳۱۲۶ M_d - ۶ / ۱۲۴۶$	۰/۷۹۷
فورنیه اصلاح‌شده متوجه سالانه	$۴ / ۸۱۳۴ MFa - ۲۱ / ۴۲۹$	۰/۷۸۶
متوجه تعداد روزهای با بارندگی بیش از ۱۰ میلی‌متر	$۳۷ / ۲۹۷ N_{10} - ۳۴ / ۲۷۶$	۰/۷۳۴
ارتفاع از سطح دریا (متر)	$-۰ / ۲۲۸ N_t + ۲۴ / ۹۷۳$	۰/۶۳۸
تعداد روزهای باران در سال	$۲۴ / ۹۷۳ N_t - ۰ / ۲۳۸$	۰/۶۵۲

H ارتفاع از سطح دریا به متر، M_d متوجه بارندگی حداکثر روزانه به میلی‌متر، P متوجه بارندگی سالانه به میلی‌متر، N₁₀ متوجه تعداد روزهای با بارندگی بیش از ۱۰ میلی‌متر، Mp متوجه حداکثر بارندگی ماهانه به میلی‌متر، Fa شاخص فورنیه متوجه سالانه به میلی‌متر، Ft شاخص فورنیه کلی به میلی‌متر، MFa شاخص فورنیه اصلاح‌شده متوجه سالانه به میلی‌متر، MFt شاخص فورنیه اصلاح‌شده کلی به میلی‌متر، EI₃₀ بر حسب مگازول- میلی‌متر بر هکتار در ساعت در سال، N_t تعداد روزهای باران در سال

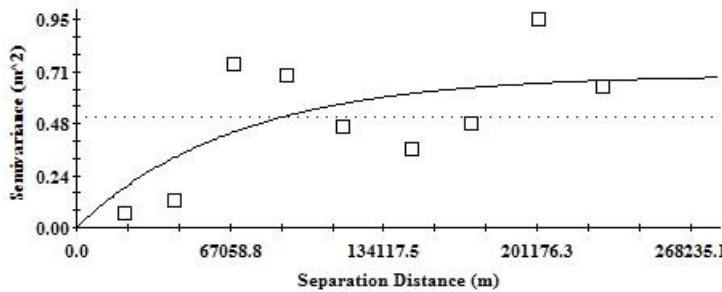


شکل ۳. خط برآذنش داده شده به شاخص فرسایندگی و متوجه حداکثر بارندگی ماهانه

برای رسم نقشهٔ فرسایندگی باران، ابتدا داده‌ها وارد نرم‌افزار SPSS شد و نرمال‌بودن داده‌ها با آزمون کولموگروف-اسمیرنوف بررسی و مشخص شد داده‌ها در حالت خام نرمال است. سپس، داده‌ها وارد نرم‌افزار GS+ شد. پس از بررسی روند داده‌ها مشخص شد که داده‌ها همسان‌گرد مدل نمایی مناسب‌ترین مدل است. سپس، مشخصات واریوگرام به‌دست آمده وارد نرم‌افزار ArcGIS 10.3 شد و نقشهٔ فرسایندگی رسم شد. در جدول ۴ مشخصات واریوگرام، در شکل ۴ مناسب‌ترین مدل واریوگرام و در جدول ۵ نتایج ارزیابی متقابل روش‌های زمین‌آماری مورد استفاده بهمنظور تهیه نقشهٔ شاخص EI_{30} آمده است. همان‌گونه که در این جدول مشخص است، روش کریجینگ معمولی به دلیل ضریب خطاهای کمتر بهترین روش انتخاب و نقشه‌پنهان‌بندی شاخص فرسایندگی باران استان کرمان تهیه شد (شکل ۵).

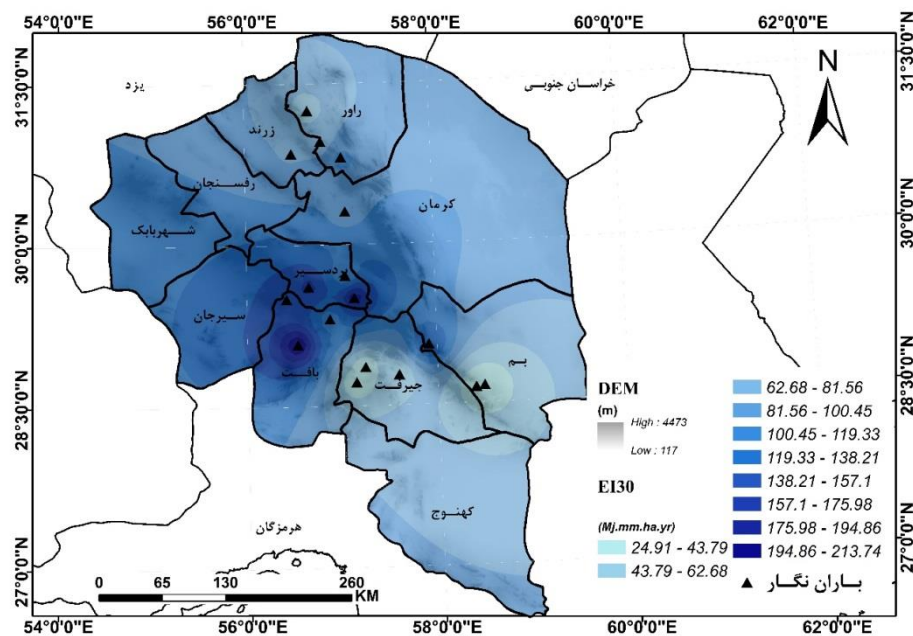
جدول ۴. مشخصات مدل‌های واریوگرام برآورد شده شاخص EI_{30}

RSS	R^2	دامنهٔ مؤثر (متر)	آستانه (متر)	اثر قطعه‌ای	مدل
۰/۰۰۴۱	۰/۶۱	۲۱۶۹۰۰	۰/۶۹	۰/۱۱۴	کروی
۰/۰۰۳۶	۰/۷۴	۲۱۰۳۰۰	۰/۷	۰/۰۰۱	نمایی
۱/۴۷	۰/۲۹	۲۲۹۹۸۷	۰/۷۷	۰/۲	خطی
۰/۳۲	۰/۳۷	۸۶۰۲	۰/۶۱	۰/۰۰۱	گوسین

شکل ۴. مناسب‌ترین مدل واریوگرام شاخص EI_{30}

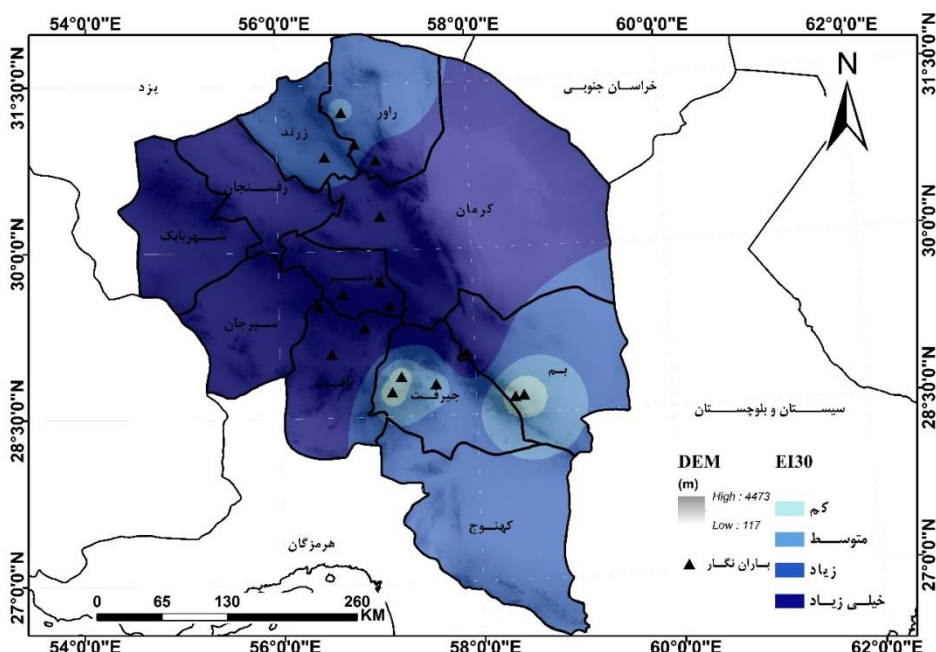
جدول ۵. خطاهای ارزیابی در مدل‌های برازش داده‌شده

MAE	MBE	RMSE	متغیر کمکی	مدل
۲۶/۲۸	۱/۰۸	۶۲/۱۴	-	کریجینگ ساده
۱۹/۷۱	۰/۹۵	۴۵/۴۱	-	کریجینگ معمولی
۸۸/۱۴	۱/۱۳	۴۶/۷۱	-	لوگ کریجینگ
۴۴/۲	۱/۴۸	۸۰/۱۱	ارتفاع	
۴۳/۷	۱/۱۶	۷۰/۶۳	متوسط حداکثر بارندگی ماهانه	
۳۵/۰۳	۱/۲۷	۷۱/۳۲	(متوسط حداکثر بارندگی ماهانه) ^۲	کوکریجینگ
۳۸/۴۷	۰/۹۸	۷۹/۷	متوسط بارندگی سالانه	
۳۶/۵	۱/۲۱	۷۲/۴۴	فورنیه اصلاح شده کلی	



شکل ۵. نقشهٔ شاخص فرسایندگی باران و DEM در استان کرمان (مگاژول - میلی متر در هکتار در ساعت در سال)

در ادامه، برای بررسی وضعیت فرسایندگی باران و پتانسیل فرسایشی ناشی از آن در سطح استان، با پهنه‌بندی شاخص فورنیه اصلاح شده کلی، نقشهٔ حاصل در پنج کلاس طبقه‌بندی شد. پنج طبقهٔ یادشده شامل طبقه‌های ناجیز (<20)، کم ($20-40$)، متوسط ($40-60$)، زیاد ($60-90$) و خیلی زیاد (>90) است (حکیم‌خانی و همکاران، ۱۳۸۴؛ قربان‌پور، ۱۳۸۳؛ محمدی، ۱۳۷۷) که نقشهٔ حاصل از این دسته‌ها در شکل ۶ آمده است.



شکل ۶. طبقه‌بندی کلاس‌های فرسایشی در استان کرمان

بحث و نتیجه‌گیری

هدف این تحقیق تهیه نقشه فرسایندگی باران با استفاده از آمار بارندگی‌های لحظه‌ای در ایستگاه‌های ثبات و برقراری رابطه همبستگی بین آمار زودیافت بارندگی و این شاخص‌ها به منظور تهیه نقشه فرسایندگی در منطقه فاقد داده‌های باران‌نگار در استان کرمان بود. شبیه‌سازی مطمئن این شاخص در بعد مکان است. در این تحقیق از حداکثر شدت بارندگی ۳۰ دقیقه‌ای استفاده شده است که یکی از خصوصیات مهم بارندگی است، در فرسایندگی نقش مستقیمی دارد و در معادلات ویشمایر و اسمیت (۱۹۷۸)، اودنگب و همکاران (۲۰۰۸) و افگیون و همکاران (۲۰۱۱) نیز به آن اشاره شده است. دخالت عامل حداکثر شدت ۳۰ دقیقه‌ای باران در افزایش میزان خطر فرسایندگی، در تحلیل بارندگی بارز است. رگبارهای به‌وقوع پیوسته در ایستگاه سلطانی با بیشترین مقدار نشان‌دهنده این مطلب است. همچنین، نتایج این تحقیق با یافته‌های صادقی (۱۳۸۳) که رابطه‌ای بین شدت بارندگی نیم‌ ساعته و شاخص فرسایندگی با ضریب همبستگی ۹۷ درصد در حوضه آبخیز امامه ارائه کرد همخوانی دارد. پس از تهیه شاخص EI_{30} مشخص شد که ایستگاه سلطانی واقع در شمال شهرستان بافت دارای بیشترین مقدار (۲۱۳/۷۴) و ایستگاه دولت‌آباد اسفندقه واقع در غرب شهرستان جیرفت دارای کمترین مقدار (۲۴/۹۱) است. نتایج نشان داد که شاخص فرسایندگی باران بیشترین همبستگی را با متوسط حداکثر بارندگی ماهانه به میلی‌متر، مربع آن و متوسط بارندگی سالانه و کمترین همبستگی را با تعداد روزهای باران در سال دارد. نتایج ارزیابی روش‌های میان‌یابی زمین‌آماری به منظور برآورد شاخص فرسایندگی باران بیانگر آن است که روش کریجینگ معمولی با خطای کمتر دقت بالاتری دارد. با پنهان‌بندی نقشه فرسایندگی باران مشخص شد که این شاخص در نواحی غرب و جنوب‌غربی استان، در ارتفاعات واقع در شهرستان‌های بافت، بردسیر و سیرجان دارای بیشترین مقدار R (بین ۱۲۷ تا ۲۱۳) و سایر نواحی استان از جمله شهرستان‌های بم، جیرفت، کهنوج و راور واقع در شرق، جنوب و شمال استان دارای کمترین مقدار R (بین ۲۴ تا ۱۲۷) است. این نتیجه با نتیجه تحقیق نیک‌کامی و مهدیان (۱۳۹۳) نزدیک است که نشان دادند ایستگاه بم در ایران در بین ایستگاه‌های مورد بررسی دارای کمترین مقدار فرسایندگی است. پس از آن نقشه کلاسه‌بندی فرسایش‌پذیری استان بدست آمد که مشخص شد $5/0$ درصد از استان در طبقه کم، $11/6$ درصد در طبقه متوسط، $36/1$ درصد در طبقه زیاد و $47/25$ درصد در طبقه خیلی زیاد قرار دارد. این طبقه شهرستان‌های کرمان، بافت، سیرجان، شهریابک، بردسیر و رفسنجان را دربرمی‌گیرد. به منظور اثبات بیانات قبلی با همپوشانی نقشه DEM با نقشه شاخص EI_{30} (شکل ۵) مشخص است میزان این شاخص در امتداد ارتفاعات شمال و شمال‌غرب به سمت مرکز استان به خصوص در ارتفاعات هزار دارای توان فرسایندگی بیشتر و مناطق شرق (کویر شهداد) و جنوبی استان دارای فرسایندگی کمتری است. این مقادیر فرسایندگی نشان‌دهنده همخوانی تغییرات بارندگی با توان فرسایندگی و دلیلی بر تأیید وجود همبستگی بین ارتفاع ایستگاه‌ها از سطح دریا (H) با این شاخص است ($R^2 = 0/638$). نتایج این قسمت از تحقیق با نتایج حکیم‌خانی و حکیم‌خانی (۱۳۸۹) و نیک‌کامی و همکاران (۱۳۹۳) مطابقت دارد. نقشه فرسایندگی برای استان کرمان تهیه نشده و تنها سه نقشه کشوری را حکیم‌خانی و همکاران (۱۳۸۴)، محمدی (۱۳۷۷)، سپاسخواه و پناهی (۲۰۰۷) و نیک‌نامی و مهدیان (۱۳۹۳) تهیه کرده‌اند. این تحقیق اولین نقشه جدآگانه فرسایندگی در استان کرمان است که با بررسی یازده شاخص زودیافت انجام شده است، اما محاسبه دقیق R به آمارهای پیوسته و

طولانی مدت باران نگارهای ثبات احتیاج دارد. امید است که در آینده با جمع آوری آمارهای بیشتر و دقیق‌تر اقدام به محاسبه R و اصلاح R های محاسباتی شود. پیشنهاد می‌شود که با تهیه الگوهای بارش همانند الگوهای بارش تیپ SCS برای اقلیم‌های مختلف و استفاده از منحنی‌های شدت مدت و دوره بازگشت و سایر پارامترهای بارندگی در دسترس و قابل اطمینان، اقدام به این امر کرد. از کاربردهای شاخص‌های فرسایندگی و نقشه‌های حاصل می‌توان به دو مورد اصلی یعنی کمک به برنامه‌ریزی، ارائه و اجرای طرح‌های مناسب حفاظت خاک و کمک به تحقیقات از طریق افزایش آگاهی از مناطق با خطر فرسایش و رسوب‌زایی بالا اشاره کرد (یو، ۱۹۹۸؛ میخایلوا و همکاران، ۱۹۹۷). این نقشه‌ها منبع مهمی از اطلاعات است که به آبخیزداران و کارشناسان کشاورزی برای ارائه طرح‌های حفاظت خاک و کنترل فرسایش و مدیریت اراضی کمک شایانی می‌کند. برای مثال، با تهیه نقشه توان فرسایشی و با تلفیق آن با نقشه‌های درصد و تراکم پوشش گیاهی، کاربری اراضی و ارتفاعات می‌توان نقاط با توان فرسایندگی بالا را تعیین و نسبت به اقدامات اضطراری حفاظتی در آن‌ها در قالب طرح‌های آبخیزداری اقدام کرد.

سیاست‌گذاری

محققان پژوهش حاضر بر خود لازم می‌دانند تا از همکاری شرکت سهامی آب منطقه‌ای و اداره کل هواشناسی استان کرمان در خصوص ارائه آمار و اطلاعات مورد نیاز تشکر و قدردانی کنند.

منابع

- حکیم‌خانی، ش؛ حکیم‌خانی، ا. (۱۳۸۹). تهیه نقشه فرسایندگی باران برای استان لرستان. *فصلنامه پژوهش‌های آبخیزداری (پژوهش و سازندگی)*، ۸۹: ۶۲ - ۷۲.
- حکیم‌خانی، ش؛ مهدیان، م.ح؛ عرب‌خدری، م؛ قربان‌پور، د. (۱۳۸۴). بررسی فرسایندگی باران در سطح کشور به روش فورنیه. سومین همایش ملی فرسایش و رسوب، پژوهشکده حفاظت خاک و آبخیزداری، ۹-۶ شهریور. ص ۲۸۱ - ۲۸۸.
- رضایی، م؛ دوانگر، ن؛ تاجداری، خ؛ ابوالپور، ب. (۱۳۸۹). بررسی تغییرات برخی شاخص‌های کیفی آبهای زیرزمینی استان گیلان با استفاده از زمین‌آمار. *نشریه آب و خاک*، ۵(۲۴): ۹۳۲ - ۹۴۱.
- زهتابیان، غ.ر؛ جان‌فزا، ع؛ محمدمعسکری، ح؛ نعمت‌الهی، م.ج. (۱۳۸۹). مدل‌سازی توزیع برخی از خصوصیات شیمیایی آبهای زیرزمینی (مطالعه موردی در حوزه آبخیز گرم‌سار). *فصلنامه مرتع و بیابان*، ۱۷(۱): ۶۱ - ۷۳.
- شریفان، ح. (۱۳۸۶). بررسی روابط بین ضریب فرسایندگی و پارامترهای مختلف باران در منطقه گرگان. *مجله علوم کشاورزی و منابع طبیعی*، ۴(۳): ۲۰۷ - ۲۱۵.
- صادقی، س.ح.ر. (۱۳۸۳). بررسی تغییرات مکانی شاخص فرسایندگی در استان مازندران. طرح پژوهشی سازمان مدیریت و برنامه‌ریزی. علی‌پور، ز.ت، مهدیان، م.ح؛ حکیم‌خانی، ش؛ سعیدی، م. (۱۳۸۹). محاسبه و برآورد شاخص‌های Lal، هادسون و Onchev در حوضه دریاچه نمک. *مجله علوم کشاورزی دانشگاه آزاد اسلامی واحد تبریز*، ۴، ویژه‌نامه ۱ (۴): ۱۴۱ - ۱۵۷.
- علی‌پور، ز.ت؛ مهدیان، م.ح؛ پذیرا، ا؛ حیدری‌زاده، م؛ رحیمی بندرآبادی، س؛ سعیدی، م. (۱۳۸۹). مقایسه کارایی روش‌های معمول زمین‌آماری با روش فازی کریجینگ در تهیه نقشه هم‌فرسايندگی باران در حوزه آبخیز دریاچه نمک. *فصلنامه پژوهش‌های آبخیزداری (پژوهش و سازندگی)*، ۸۶: ۳۲ - ۴۱.

قریان پور، د. (۱۳۸۳). مطالعه و برآورد شاخص فرسایندگی باران (R) در مازندران، پایان نامه کارشناسی ارشد آبخیزداری، دانشگاه مازندران، ۸۸ ص.

محمدی، ج. (۱۳۷۷). تهیه نقشه فرسایندگی باران در ایران با استفاده از شاخص فورنیه و روش آماری کریجینگ. مجله علوم کشاورزی و منابع طبیعی، ۴(۳): ۳۴-۳۵.

مرادی، ح. ر؛ بهزادفر، م؛ صادقی، س. ح. ر. (۱۳۸۵). بررسی ارتباط بین پارامترهای بارندگی و عامل فرسایندگی باران در استان خوزستان. مجله علمی کشاورزی، ۴(۲۹): ۶۹-۸۳.

نیک‌کامی، د؛ مهدیان، م. ح. (۱۳۹۳). تهیه نقشه شاخص مناسب باران کشور. نشریه علمی-پژوهشی مهندسی و مدیریت آبخیز. ۶(۴): ۳۶۴-۳۷۶.

همتی، م؛ احمدی، ح؛ نیک‌کامی، د؛ زهتابیان، غ. ر. (۱۳۸۶). تعیین بهترین شاخص فرسایندگی باران در اقلیم نیمه‌خشک سرد ایران (مطالعه موردنی ایستگاه تحقیقات حفاظت خاک کبوهه علیا - کرمانشاه). چهارمین همایش ملی علوم و مهندسی آبخیزداری ایران، کرج دانشکده منابع طبیعی.

Alipour, Z.T.; Mahdian, M.H.; Hakimkhani, Sh.; Saeedi, M. (2011). Calculating and estimating of EI_{30} , Lal, Hudson and Onchev indices in namak lake watershed. Journal of Agricultural Sciences of Tabriz Azad University, 4(14): 141-157.

Alipour, Z.T.; Mahdian, M.H.; Pazira, E.; Heidarizadeh, M.; Rahimi Bandar Abadi, S.; Saeedi, M. (2011). Efficiency comparison of common geostatistics methods with of fuzzy kriging in preparing rainfall isoerodent map in namak lake watershed. Watershed Management Research Journal (Pajouhesh & Sazandegi), 86: 32-41.

Arnoldus, H. (1977). Methodology used to determine the maximum potential average annual soil loss due to sheet and rill erosion in Morocco. FAO Soils Bull. 34, 39-51.

Arnoldus, H.M.J. (1980). An approximation of the rainfall factor in the Universal Soil Loss Equation. In: De Boodt, M., Gabriels, D. Eds., Assessment of Erosion. Chichester, New York, 127-132.

Bernestein, L. (2007). Climate Change 2007: Synthesis Report, Summary for Policymakers Intergovernmental Panel on Climate Change (IPCC). Un-edited copy Prepared for COP-13 Edition.

Ferro, V.; Porto, P. (1999). A comparative study of rainfall erosivity estimation for southern Italy and southern Australia. Hydrology Science. 44: 3-24.

Fournier, F. (1960). Climate et erosion; la relation entre lerosion du sol par leau et les precipitations atmosphériques. First edition. Presses Universitaires de France, Paris (In French).

Gorbanpour, D. (2004). Study and evaluation of rainfall erosivity index (R) in Mazandaran. MSc thesis in Watershed Management, Mazandaran University.

Hadley, R.F.; Lal, R.; Onstad, C.A.; Walling, D.E.; Yair, A. (1985). Recent developments in erosion and sediment yield studies. UNESCO, Paris, 127 p.

Hakim Khani, Sh.; Hakim Khani, A. (2011). Rainfall erosivity mapping for Lorestan province. Watershed Management Research Journal (Pajouhesh & Sazandegi), 89: 62-72.

HakimKhani, S.; Mahdian, M.H.; ArabKhedri, M.; Ghorbanpoor, D. (2005). Investigating rainfall erosivity in Iran. 3rd Erosion and Sediment National Conference, Soil Conservation and Watershed Management Research Center, 28-31 August, Tehran, Iran.

Hemmati, M.; Ahmadi, H.; Nikkami, D.; Zehtabian, G.H. (2008). Determining of best rainfall erosivity index in Iran's cold semi-arid climate (Case Study: Soil Conservation Research Station of Kaboudeh Olia-Kermanshah). 4th National Conference on Sciences and Watershed Management Engineering, Department of Natural Resources, Karaj.

Hudson, N. (1971). Soil Conservation, second Edition. B. T. Batsford, London.

Kavian, A.; Fathollah Nejad, Y.; Habibnejad, M.; Soleimani, K. (2011). Modelling Seasonal Rainfall Erosivity on a Regional scale: A case Study from Northeastern Iran. Journal of Environ Res, 5(4): 939-950.

Lal, R. (1976). Soil erosion on alfisoils in Western Nigeria. Effects of rainfall characteristics. Geoderma, 16: 389-410.

- Lal, R.; Elliot, W. (1994). Erodibility and Erosivity. Soil Erosion research methods, Soil and Water Conservation Society. Ankeny, 181-208.
- Ma, X.; He, Y.; Xu, J.; Van Noordwijk, M.; Lu, X. (2014). Spatial and temporal variation rainfall erosivity in a Himalayan watershed. *Journal of Catena*. 248-259.
- Mikhailova, E.A.; Bryant, R.B.; Schwager, S.J.; Smith, S.D. (1997). Predicting rainfall erosivity in Honduras, *Soil Science Society of America Journal*. 61 (1): 273-279.
- Mohammadi, G. (1998). Preparation of Rainfall erosivity mapping in Iran using Fournier index and Kriging statistical method. *Journal of Agricultural Sciences and Natural Resources*. 4(3): 35-44.
- Moradi, H.R.; Behzadfar, M.; Sadeghi, S.H.R. (2007). Investigation of relationship between rainfall and the rainfall erosivity parameters in Khuzestan province. *Journal of Agricultural Scientific*, 29(4): 69-83.
- Morgan, R.P.C. (1995). *Soil Erosion and Conservation*. Addison Wesley, London, 198 p.
- Nikkami, D.; Mahdian, M.H. (2014). Rainfall erosivity Mapping in Iran. *Journal of Watershed Engineering and Management*, 6(4): 364-376.
- Ogedengbe, K.; Adesina, A.O.; Alabi, R.T. (2008). Estimation of the R-factor of universal soil loss equation using monthly rainfall amount for Nigeria. *J. World assoc. Soil Water Conserv*, 3: 20-26.
- Onchev, N.G. (1985). Universal index for calculating rainfall erosivity. In: El-Swaify, S.A., Moldenhauer, W.C. and Lo, A. (eds), *Soil erosion and conservation*, Soil Conservation Society of America, Ankeny, IO, 424-431.
- Panagos P.; Ballabio, C.; Borrelli, P.; Meusburger, K.; Klik, A. (2015). Rainfall erosivity in Europe. *Journal of Science of the Total Environment*. 511, 801-814.
- Panahi, J. (1998). Determining the Rainfall Erosivity Index in Islamic Republic of Iran. MSc Thesis, Irrigation Course, Shiraz University, College of Agriculture.
- Rezaei, M.; Davatgar, N.; Tajdari, K.; Abolpour, B. (2010). Investigating the Spatial Variability of Some Important Groundwater Quality Factors in Guilan, Iran. *Journal of Water and Soil*, 24(5): 932-941.
- Sadeghi, S.H.R.; Tavangar, S. (2015). Development of station models for estimation of rainfall erosivity factor in different timescales. *Journal of Natural Hazards*. 77, 429-443.
- Sadeghi, S.H.R. (2009). Determining of Spatial Variability of Rainfall Erosivity Index in Mazandaran Province. Research Project of Management and Planning Organization.
- Salles, C.; Poesen, J. (2000). Rain properties controlling soil splash detachment. *Hydrological Process*, 14: 271-282.
- Sanchez-Moreno, J.F.; Mannaerts, C.M.; Jetten, V. (2014). Rainfall erosivity mapping for Santiago Island, Cape Verde. *Geoderma*, 217, 74-82.
- Sepaskhah, A.R.; Panahi, J. (2007). Estimating storm erosion index in I.R. Iran. *Iranian Journal of Science & Technology, Transection B, Engineering*, 31(B2): 237-248.
- Shamashd, A.; Azhari, M.N.; Isa, M.H.; Wan Hussin, W.M.A.; Parida, B.P. (2008). Development of an appropriate procedure for estimation of RUSLE EI_{30} index and preparation of erosivity maps for pulau penang in peninsular Malaysia. *Catena* 72(3): 423-432.
- Sharifan, H. (2008). Evaluation of equations erosivity index and parameters of rainfall in Gorgan. *Journal of Agricultural Sciences and Natural Resources*, 14(5): 207-215.
- Silva, A.M. (2004). Rainfall erosivity map for Brazil. *Catena* 57: 251-259.
- Sukhanovski, Y.P.; Ollesch, G.; Khan, K.Y.; MeiBner, R. (2002). A new index for rainfall erosivity on a physical basis. *J. Plant Nutr. Soil Sci.* 165, 51-57.
- Ufoegbune, G.C.; Bello, N.J.; Ojekunle, Z.O.; Orunkoye, A.R.; Eruola, A.O.; Amori, A.A. (2011). Rainfall Erosivity Pattern of Ogun River Basin Area (Nigeria) using Modified Fournier Index. *European Water Journal*, 35: 23-29.
- Wichmeier, W.H.; Smith, D.D. (1978). Predicting rainfall losses: a guide to conservation planning. *Agriculture Handbook No. 537*, US Department of Agriculture, Washington, DC.
- Yu, B. (1998). Rainfall erosivity and its estimation for Australias tropics. *Australian Journal of Soil Research* 36: 65-143.
- Zehabian, G.H.; Janfaza, E.; Mohammad Asgari, M.; Nematollahi, M.J. (2010). Modelling of groundwater spatial distribution for some chemical properties (Case Studuy in garmsar watershed). *Irainian Journal of Range and Desert Research*, 17(1): 61-73.